

МИКРОПЛАЗМОИДЫ

Шишкин Александр Львович, ООО
«Внедренческая фирма АВК-БЕТА»,
г. Дубна, Московская область

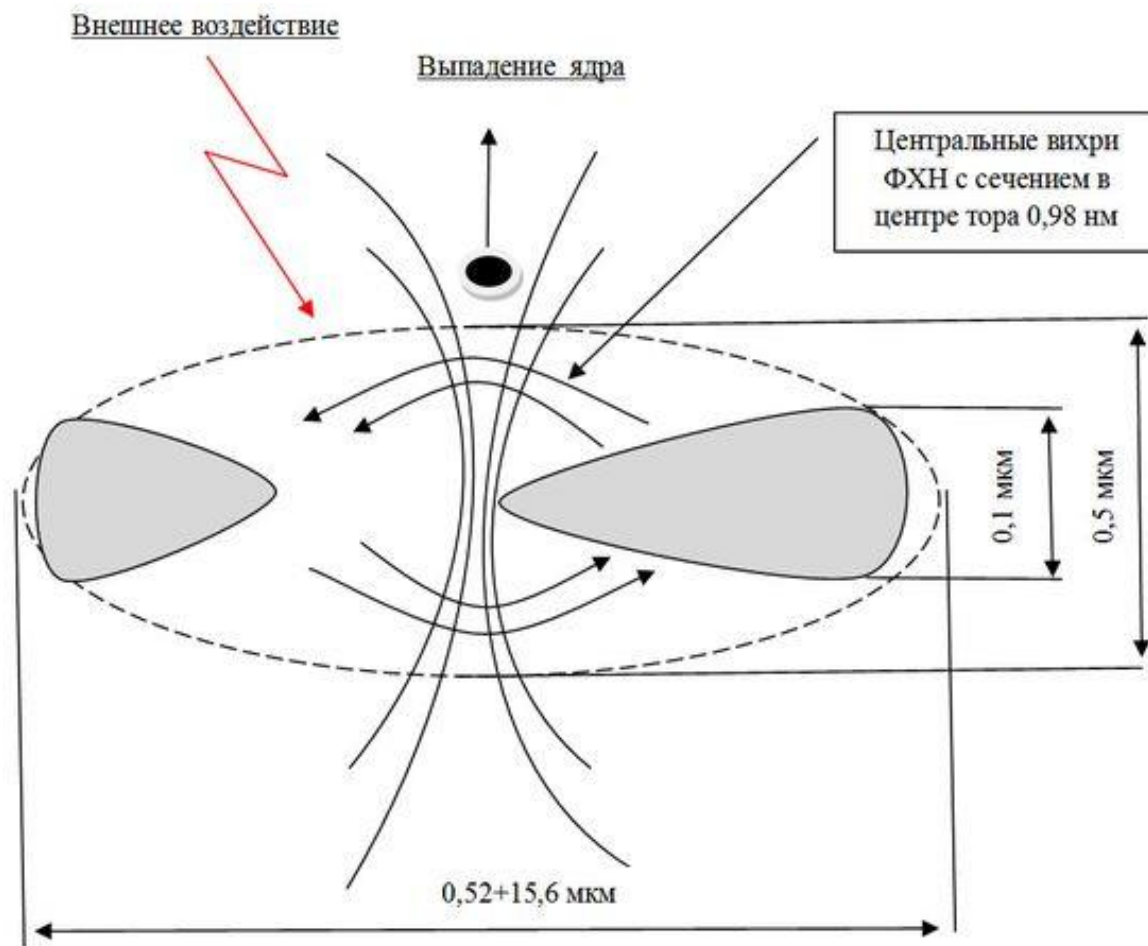
Введение.

У этой энергии много имен. Никола Тесла называл это явление радиантной энергией, Вильгельм Райх - оргонной энергией, Альберт-Виктор Вейник – хрононами, Николай Козырев – временем, которое, кроме пассивного свойства "длительности", измеряемого часами, обладает ещё активными свойствами, благодаря которым время может воздействовать на ход событий, Кен Шоулдерс – солитонный мешок с электронами. Атмосферное и статическое электричество – так же имеют отношение к этой энергии. По моему мнению, более правильное название этих энергетических сущностей - микроаккумуляторы плазменной энергии. На исследование свойств этой энергетической субстанции я потратил более 20-ти лет.

Следы на рентгеновских пленках

В 2010 году теоретик ОИЯИ (г. Дубна) Владимир Михайлович Дубовик предложил модель устройства атома, в рамках которой ядро атома получает энергию из ЭФИРА и висит на двух вихорьках: всасывающим и выбрасывающем (рис.1), формируя на Боровском радиусе оболочку из праматерии (эфира). В случае критического воздействия на оболочку ядро может выпасть из оболочки, а пустая оболочка с большой долей вероятности может замкнуться сама на себя, образовав вихревой солитон. Этот солитон имеет торообразную структуру, обладает высокой проникающей способностью. При большой концентрации такие солитоны ведут себя как проникающее излучение /1/.

Рис. 1 Тороподобная модель «пустой оболочки» (кластера МТЭИ) по термоэлектродинамической модели В.М.Дубовика и В.К. Куролеса /2/



Исследования характеристик

МагнетоТороЭлектрического излучения (МТЭИ)

В период с 2010 по 2013 гг наша группа получила возможность проверить предложенную В.М. Дубовиком модель с помощью рентгеновских пленок. Результаты исследований были опубликованы в 2012 году в работе /1/. На фото 1 показаны следы взрывной распаковки кластера МТЭИ – вихревого эфирного солитона. На фото 1в ножка птички – это след от границ тора, что косвенно подтверждает предложенную модель. Поэтому экспериментально зарегистрированное новое излучение авторы назвали МагнетоТороЭлектрическое излучение. Кластеры этого излучения имеют торообразную структуру, обладают магнитными и электрическими свойствами

Фото 1. Следы от разрушения МТЭК с механическим повреждением в виде «ногтевого продавливания» фотодетекторов располагаются на «птичках» в местах почернения, нумерация (слева – направо);

а) сбоку от СВЧ-печи 25.01.2011;

*б) над дюралевой пластиной облученной предварительно дозой 5Гр от Со60
02.03.2011;*

в) около ведра с парафином, в котором расположен Рн-Ве нейтронный



Исследование МТЭИ.

В случае, если такие кластеры будут разрушаться в газоразрядном конденсаторе, то должны наблюдаться аномальные импульсы тока (**АИТ**).

Такие сигналы мы зарегистрировали с помощью коаксиального конденсатора, в качестве которого использовался коронный счетчик нейтронов СНМ-14. **Схема разрушения и регистрации электронов и ионов от разрушенных зарядовых кластеров** показана на рис.2, где U_a – напряжение, подаваемое на нить анода от генератора возбуждения с частотой от 1 Гц до 10 Гц и напряжением $U_a = \pm 630$ В, TDS 2024C – запоминающий осциллограф, ограничивающее сопротивление - $R_o = 50$ МОм, сопротивление нагрузки - $R_n = 50$ Ом, $C = 330$ пФ. Собственная емкость СНМ-14 – около 1,5 пФ. Для эффективного разрушения зарядового кластера требуются крутые фронты нарастания/спада импульса напряжения. Наш генератор создает фронты около 150 мкс. Максимальный заряд, который можно было бы снять с емкости конденсатора (C_k), заряженного от генератора возбуждения, не превышает величины: $Q_{\max} = C_k * U_a = 1,5 * 10^{-12} * 630 = 9,45 * 10^{-10}$ Кл

Рис.2. Схема включения коронного счетчика СНМ-14 в режиме генерации и регистрации АИТ

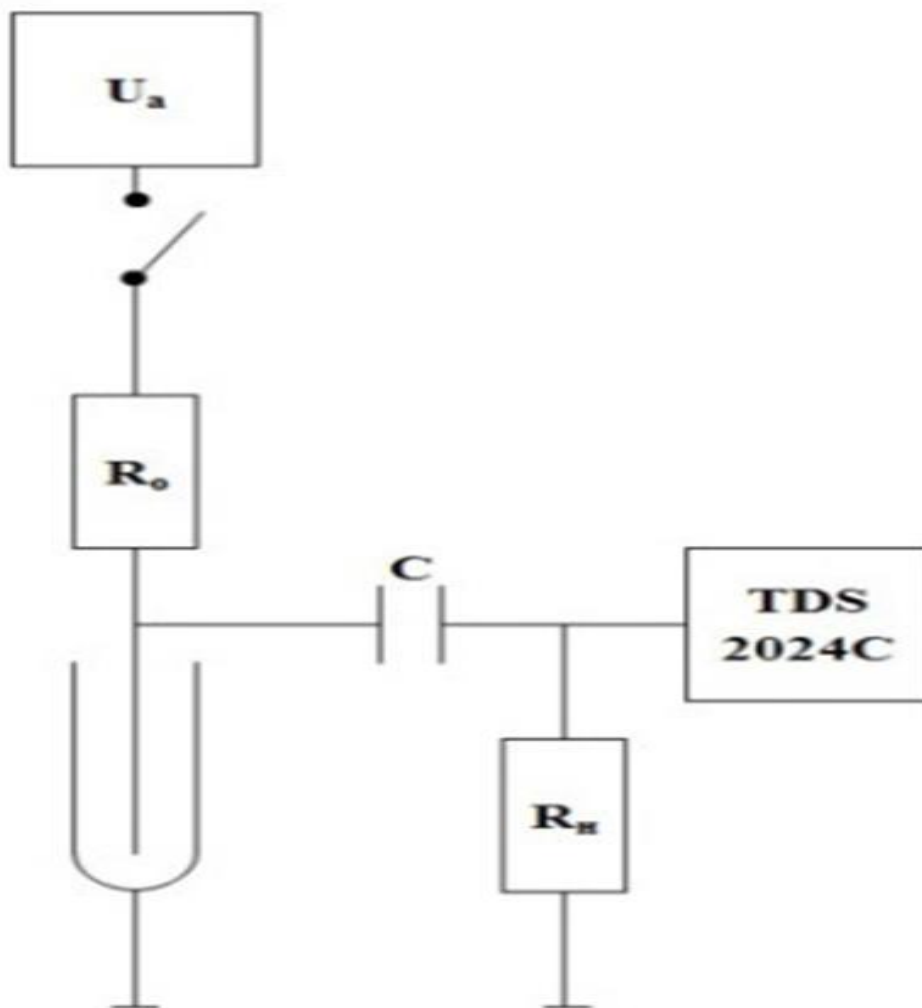
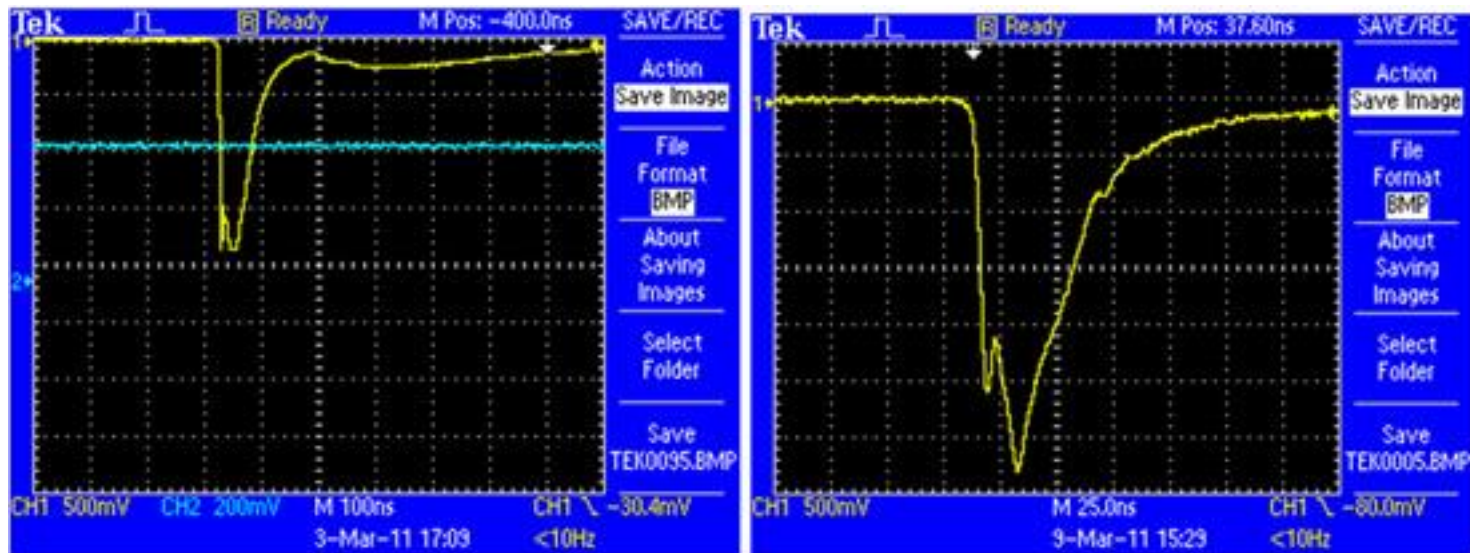


Фото 2, 3. При анодном напряжении 630 В длительность нарастания переднего фронта должна быть 1,5 мкс. Но были зарегистрированы АИТ с нарастанием переднего фронта около 10 нс с превышением Q_{\max} в несколько раз .



Регистрация ускоренных электронов от разрушения кластеров МТЭИ фотодетектором.

Для проверки факта появления ускоренных электронов при разрушении зарядовых кластеров был проведен отдельный эксперимент, геометрия которого показана на фото 4. На газоразрядный детектор СНМ-14, включенный в режим регистрации зарядовых кластеров при $U_a = \pm 590$ В, был помещен светонепроницаемый пакет с двумя рентгеновскими фотодетекторами. Суммарная экспозиция осуществлялась 116 часов.

После проявки фотодетекторов на ближнем к поверхности СНМ-14 фотодетекторе были обнаружены полосы (фото 5) в виде треков, геометрически совпадающие с катодом детектора. На рисунке 3 отображены визуально видимые полосы и их геометрические размеры. Поперечный размер 2,3 см незначительно больше, чем наружный диаметр СНМ-14, равный 22 мм. Но это объясняется тем, что фотодетектор не прилегал плотно к детектору. На фото 6 при разном увеличении показаны фрагменты треков.

В связи с тем, что на дальнем фотодетекторе следы от рентгеновского излучения не обнаружены, учитывая толщину пакета и фотопластин, мы оценили энергию тормозного излучения в диапазоне от 5 кэВ до 10 кэВ. Проведенный эксперимент полностью подтверждает гипотезу о том, что при разрушении зарядовых кластеров рождаются ускоренные электроны.

Фото 4.. Геометрия эксперимента. Под пакетом с фотодетектором расположен СНМ014, на анод которого подаются импульсы +/- 590 В.



Фото 5.. Увеличенный фрагмент с фотодетектора 1-1.

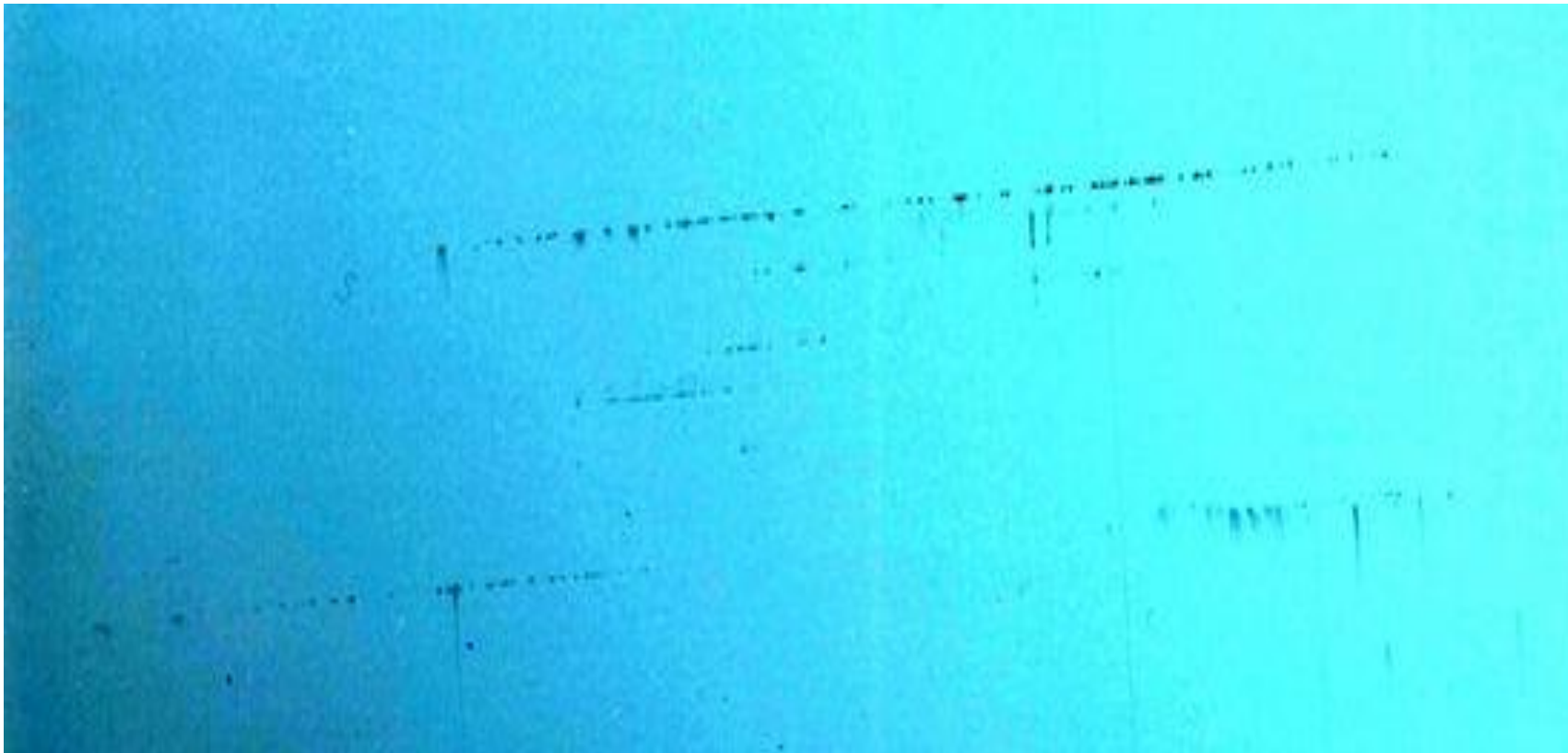


Рис. 3. Рис 4. Место расположения и размеры полос (сантиметры) на фотодетекторе 1-1.

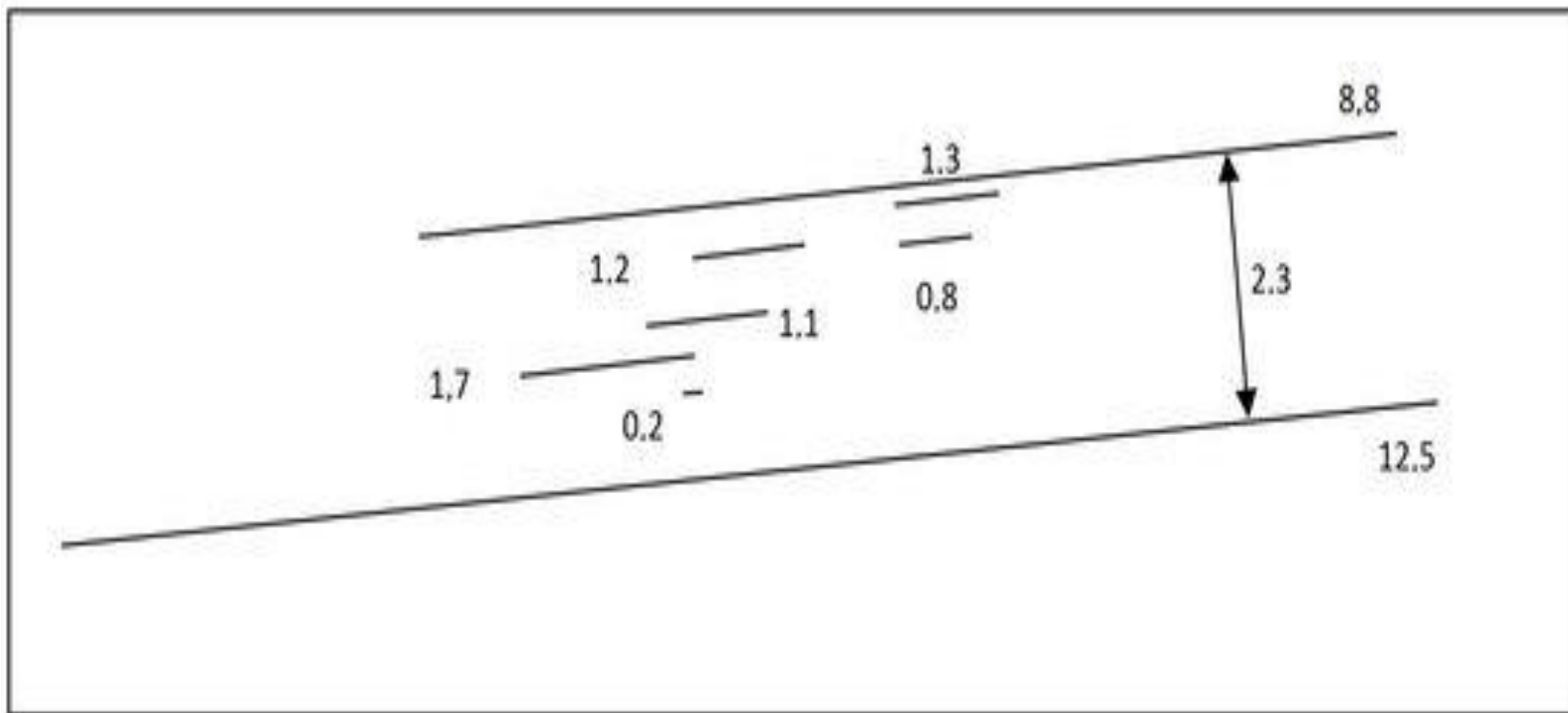
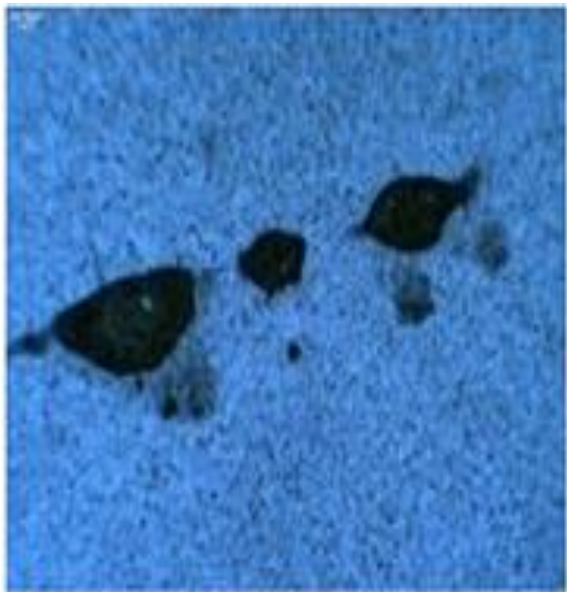


Фото 6. Фото следов при разном увеличении: а и б – 160х, в – 640х.



а



б



в

Характеристики кластера МТЭИ (эфирного энергетического солитона)

1. По модели В.К. Куролеса каждая оболочка атома состоит из $0,771 \cdot 10^{11}$ элементарных вихрей /3/. Следовательно, после выпадения ядра атома из оболочки - кластер МТЭИ состоит также из $0,771 \cdot 10^{11}$ элементарных вихрей и при распаковке выбросит $0,771 \cdot 10^{11}$ ускоренных электронов.
2. Кластер МТЭИ (МТЭК) по расчетам В.К. Куролеса имеет динамические размеры $0,1 \times 0,52 \times 15,6$ мкм. Эти параметры неплохо совпадают с размерами треков странного излучения лежащих в диапазоне 12 мкм – 18 мкм.

Характеристики кластера МТЭИ (эфирного энергетического солитона)

3. Таким образом, ядро атома формирует торообразную вихревую оболочку в виде солитона с потенциальной энергией (энергия Хартри) оцениваемой величиной **$0,394 \cdot 10^{17}$ эВ = $0,631 \cdot 10^{-2}$ Дж.**

4. Вес МТЭК – $m_{об} = 1,0235 \cdot 10^{-40}$ кг

5. Плотность МТЭК – $\rho_{об.} = 1,30 \cdot 10^{-27}$ кг/см³.

4. При механическом и/или ином воздействии МТЭК распаковывается с выбросом $0,77 \cdot 10^{11}$ ускоренных до 10 кэВ электронов и на пять порядков меньше ионов, в основном, протонов, что хорошо совпадает с экспериментальными выводами Кена Шоулдерса. Рожденная материя имеет массу около $7,01 \cdot 10^{-20}$ кг.

Характеристики кластера МТЭИ (эфирного энергетического солитона)

1. МТЭК обладает высокой проникающей способностью и в большой концентрации ведет себя как излучение (МагнетоТороЭлектрическое Излучение – МТЭИ).
2. Кластеры обладают способностью поглощать электроны и ионы без проявления общего заряда (такие структуры мы назвали как Энергетические Кластеры - ЭК).
3. ЭК создают на поверхности фотоэмульсий следы, так называемого, «странного излучения»:
 - птичка и/или зонтик – взрывная распаковка кластера с выбросом большого количества, в том числе, ускоренных электронов;
 - изогнутый трек - след кластера, ползущего по поверхности пленки;
 - след «протектора» также след энергетического кластера, ползущего по поверхности пленки, но с механическим проникновением в ее тело;
 - следы круглых пятен связаны с тем, что энергетический кластер при взаимодействии с ворсинками бумаги начинает рассыпаться на более мелкие вихри, которые при потере энергии оставляют следы круглых пятен.
4. ЭК садятся на центры люминесценции, что приводит к снижению яркости свечения люминофоров /4/.

Характеристики кластера МТЭИ (эфирного энергетического солитона)

5. При механическом и/или электрическом воздействии на ЭК кластер распаковывается (взрывается) с испусканием ускоренных до 6 кэВ - 8 кэВ (этим объясняется появление рентгеновского излучения около кавитаторов и кавитирующих струй жидкостей).
6. ЭК прикрепляются к поверхности пылинок, поэтому при большой концентрации кластеров возможны объемные разрушительные взрывы (пыли, метана, паров топлива).
7. В угольных разрезах на большой глубине (более 500 м) ЭК рожденные в глубинах Земли способны накапливаться в микротрещинах угольного пласта. При разгрузке пласта трещина начинает увеличиваться в размере, что приводит к цепной реакции взрыва ЭК с взрывным синтезом и последующим разрушительным взрывом метана.

Характеристики кластера МТЭИ (эфирного энергетического солитона)

8.ЭК способны накапливаться на поверхности детекторов, в частности, детекторов нейтронов, альфа-частиц и гамма-квантов. При большой концентрации ЭК на поверхности и их взрыве детекторы нейтронов, альфа-частиц и гамма-квантов регистрируют краткое (за несколько мс) увеличение скорости счета, которое исследователи ошибочно интерпретируют как вспышку нейтронов, альфа-частиц и гамма-квантов.

9. Большая концентрация энергетических кластеров приводит к «зависанию» компьютеров, выходу из строя электронных компонентов и схем из-за взрыва на их поверхности ЭК, к авариям в электросетях.

10. ЭК содержатся в кровеносных сосудах и капиллярах всех живых существ и растений. В теле млекопитающих, птиц, рептилий и рыб помимо кровотока и лимфотока существует ЭНЕРГОТОК.

11. ЭК поставляют клеткам организма «чистую» энергию в виде электронов, поэтому вода, с повышенной концентрацией ЭК обладает высокими лечебными свойствами.

Характеристики кластера МТЭИ (эфирного энергетического солитона)

12. Энергетический океан из заряженных кластеров ведет себя как густой гель, поэтому можно предположить, что биологическое воздействие 4-го состояния воды, открытое Джеральдом Полаком связано ЭК. Энергетические кластеры с накопленными электронами, как правило, скапливаются на границе сред. Поэтому пограничная вода – это вода с высокой концентрацией ЭК. При взаимодействии фотона с кластером последний легко отдает электрон. Поэтому объяснение появления тока между пограничной и объемной водой при облучении инфракрасным излучением вполне объяснимо.

13. Отдельная тема – биологическое воздействие фантомов из ЭК.

Характеристики кластера МТЭИ (эфирного энергетического солитона)

13.1. В 1989 году была опубликована статья А.Ф. Охатрина о микрокластерах и сверхлегких частицах . Автор обнаружил, что тела вращения вовлекают в движение некие «микрокластеры», создавая вращающийся фантом, по-видимому, в виде вихревой воронки. После остановки тела вращения этот фантом продолжал жить не менее 20-ти суток. Я предполагаю, что фантом создан из энергетических кластеров. При попадании организма в поле такого фантома энергетические кластеры ЭНЕРГОТОКА в прямом смысле вырываются из организма движущимися кластерами «фантома». Та часть организма, которую повредил фантом, стремительно теряет иммунитет со всеми вытекающими последствиями. Негативное воздействие фантома от гидродинамической машины испытал на себе летом 2018 года.

13.2. Около любого тела образуется фантом из ЭК. Чем дольше тело находится в одном месте, тем устойчивей фантом. Тяжело больной человек создает устойчивый фантом со всеми его болячками. Поэтому в больницах необходимо периодически такие фантомы уничтожать, например, с помощью электроискровых разрядников

Характеристики кластера МТЭИ (эфирного энергетического солитона)

14. Живая природа научилась использовать кластеры МТЭИ в своих целях:

14.1. Электрические рыбы накапливают МТЭК в своих организмах и при необходимости поражают электрическим разрядом рыб и млекопитающих.

14.2. Куры с помощью МТЭК научились преобразовывать Калий в Кальций.

14.3. По всей видимости, в организме женщин во время беременности также происходит процедура трансмутации Калия в Кальций.

ЛИТЕРАТУРА.

1. Исследование характеристик МагнетоТороЭлектрических Излучений с помощью фотопленочных детекторов
<http://www.trinitas.ru/rus/doc/0231/004a/02311041.htm> 2012
2. Исследование характеристик «нейтрино»-кластерного излучения
<http://www.trinitas.ru/rus/doc/0016/001f/00163510.htm> 2017.
3. А.Л. Шишкин, В.К. Куролес, Объяснение эффекта С.М.Ушеренко на основе оболочечной модели атома // «Академия Тринитаризма», М., Эл № 77-6567, публ.27772, 11.04.2022
<https://www.trinitas.ru/rus/doc/0016/001h/00164979.htm>
4. О характеристиках МагнетоТороЭлектрических Излучений (МТЭИ) и их биологическое воздействие на человека
<http://www.trinitas.ru/rus/doc/0016/001g/00163931.htm> 2019

6.

6. При механическом и/или ином воздействии МТЭК распаковывается с выбросом $0,77 \cdot 10^{11}$ ускоренных до 10 кэВ электронов и на пять порядков меньше ионов, в основном, протонов, что хорошо совпадает с экспериментальными выводами Кена Шоулдерса. Рожденная материя имеет массу около $7,01 \cdot 10^{-20}$ кг.